

Akustické proudění v rezonátorech s teplotní nehomogenitou

Milan Červenka

České vysoké učení technické v Praze
Fakulta elektrotechnická
katedra fyziky
milan.cervenka@fel.cvut.cz

Konference COMSOL Multiphysics 2018



Akustickým prouděním rozumíme ustálený tok tekutiny, generovaný zvukovým polem. Jedná se o jev druhého řádu.

Existuje několik základních mechanismů generování akustického proudění. Jedná se zejména o:

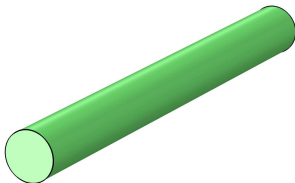
- **Rayleighovo proudění – generované v mezní vrstvě ve stojaté vlně v akustickém rezonátoru,**
- Eckartovo proudění („quartz wind“),
- tryskově buzené proudění („jet-driven streaming“),
- Gedeonovo proudění (souvisí s postupnou vlnou ve vlnovodech s kruhovou topologií).

Akustické proudění

Akustickým prouděním rozumíme ustálený tok tekutiny, generovaný zvukovým polem. Jedná se o jev druhého řádu.

Existuje několik základních mechanismů generování akustického proudění. Jedná se zejména o:

- **Rayleighovo proudění – generované v mezní vrstvě ve stojaté vlně v akustickém rezonátoru,**
- Eckartovo proudění („quartz wind“),
- tryskově buzené proudění („jet-driven streaming“),
- Gedeonovo proudění (souvisí s postupnou vlnou ve vlnovodech s kruhovou topologií).



Akustickým prouděním rozumíme ustálený tok tekutiny, generovaný zvukovým polem. Jedná se o jev druhého řádu.

Existuje několik základních mechanismů generování akustického proudění. Jedná se zejména o:

- **Rayleighovo proudění – generované v mezní vrstvě ve stojaté vlně v akustickém rezonátoru,**
- Eckartovo proudění („quartz wind“),
- tryskově buzené proudění („jet-driven streaming“),
- Gedeonovo proudění (souvisí s postupnou vlnou ve vlnovodech s kruhovou topologií).

Podle rychlosti, rozdělujeme akustické proudění na:

- **„pomalé“** proudění – velikost rychlosti proudění je výrazně menší nežli akustická rychlost – *k jeho zkoumání můžeme používat poruchové teorie,*
- **„rychlé“** proudění – musíme vzít v úvahu setrvačnost proudící tekutiny – *analýza pomocí metod CFD.*

Nelineární Reynoldsovo číslo – Re_{nl}

Jestliže $Re_{nl} \ll 1$, ak. proudění je „pomalé“ – setrvačné účinky na proudící tekutinu lze zanedbat. Zde je Re_{nl} používáno zejména k vyjádření „síly“ zvukového pole. Platí

$$Re_{nl} = \left(\frac{u_{a0}}{c_0} \right)^2 \left(\frac{R}{\delta_v} \right)^2,$$

kde u_{a0} je velikost akustické rychlosti v kmitně stojaté vlny, c_0 je rychlost zvuku, R je poloměr rezonátoru, a δ_v je tloušťka akustické mezní vrstvy.

Rayleighova rychlost – u_R

Podle Rayleighovy teorie se rychlost akustického proudění podél osy rezonátoru řídí vztahem

$$u_{mz} = u_R \sin 2kz, \quad \text{kde} \quad u_R = \frac{3}{16} \frac{u_{a0}^2}{c_0},$$

kde k je vlnové číslo, a z je souřadnice podél osy rezonátoru.

Nelineární Reynoldsovo číslo – Re_{nl}

Jestliže $Re_{nl} \ll 1$, ak. proudění je „pomalé“ – setrvačné účinky na proudící tekutinu lze zanedbat. Zde je Re_{nl} používáno zejména k vyjádření „síly“ zvukového pole. Platí

$$Re_{nl} = \left(\frac{u_{a0}}{c_0} \right)^2 \left(\frac{R}{\delta_v} \right)^2,$$

kde u_{a0} je velikost akustické rychlosti v kmitně stojaté vlny, c_0 je rychlost zvuku, R je poloměr rezonátoru, a δ_v je tloušťka akustické mezní vrstvy.

Rayleighova rychlost – u_R

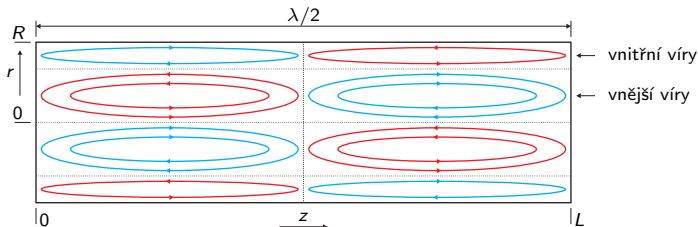
Podle Rayleighovy teorie se rychlost akustického proudění podél osy rezonátoru řídí vztahem

$$u_{mz} = u_R \sin 2kz, \quad \text{kde} \quad u_R = \frac{3}{16} \frac{u_{a0}^2}{c_0},$$

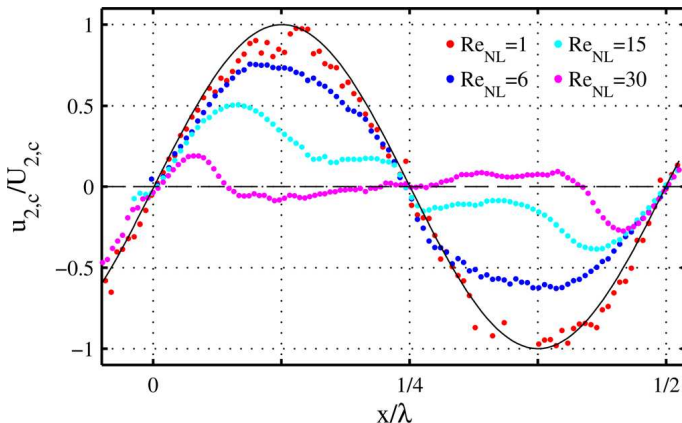
kde k je vlnové číslo, a z je souřadnice podél osy rezonátoru.

Analytický model pro pomalé akustické proudění v rezonátoru (se stěnami o konstantní teplotě):

- M. F. Hamilton, Y. A. Ilinskii and E. A. Zabolotskaya, *Thermal effects on acoustic streaming in standing waves*, J. Acoust. Soc. Am. 114, 2003, pp. 3092–3101.



Ida Reyt, H el ene Bailliet, Jean-Christophe Vali ere: **Experimental investigation of acoustic streaming in a cylindrical wave guide up to high streaming Reynolds numbers**, *J. Acoust. Soc. Am.* 135, 27–37, 2014



- Všechny moderní experimenty (LDV, PIV) ukazují silnou odchylku od Rayleighovy teorie pro vysoké hodnoty Re_{nl} .
- Je známo, že při těchto experimentech dochází k ustálení teplotního gradientu podél stěny rezonátoru. Je známo, že potlačení tohoto gradientu zmenšuje odchylku od Rayleighovy teorie.
- Rychlé akustické proudění se zkoumá teoreticky pomocí metod CFD na „zmenšených“ modelech (rozměry řádově 1 cm) – numericky „proveditelné“.
- Za původce odchylky od Rayleighovy teorie je nejčastěji považována setrvačnost proudící tekutiny, nebo nelineární interakce mezi akustickou rychlostí a rychlostí proudění (?)
- **Souvislost s teplotní nehomogenitou tekutiny nikdo nezkoumá, přestože experimenty naznačují, že to spolu nějak souvisí.**
- **Předmětem této práce je ukázat, že k deformaci profilu rychlosti akustického proudění dochází díky konvektivnímu přenosu tepla akustickým prouděním.**

$$\begin{aligned}\frac{d\rho}{dt} &= -\rho \nabla \cdot \mathbf{u}, \\ \rho \frac{d\mathbf{u}}{dt} &= \nabla \cdot \boldsymbol{\sigma} + \mathbf{f}, \\ \rho c_p \frac{dT}{dt} - \alpha T \frac{dp}{dt} &= \nabla \cdot (\kappa \nabla T) + \boldsymbol{\tau} : \nabla \mathbf{u}, \\ p &= \rho R_s T,\end{aligned}$$

ρ – hustota, \mathbf{u} – rychlost tekutiny, T – teplota, p – tlak, $\mathbf{f} = -\rho \mathbf{a}(t)$, kde $\mathbf{a}(t)$ je budící zrychlení rezonátoru; c_p – měrná tep. kapacita za konst. tlaku, α – izobarický koeficient objemové teplotní roztažnosti, κ – koeficient tepelné vodivosti, R_s – měrná plynová konstanta,

$$\boldsymbol{\sigma} = -p\mathbf{I} + \boldsymbol{\tau} = -p\mathbf{I} + \mu \left[\nabla \mathbf{u} + (\nabla \mathbf{u})^T \right] - \frac{2\mu}{3} (\nabla \cdot \mathbf{u}) \mathbf{I},$$

μ – příčná viskozita, \mathbf{I} je jednotková matice.

Aplikace metody postupných aproximací

$$\varphi = \varphi_0 + \varphi_a + \varphi_n, \quad \varphi_n \ll \varphi_a,$$

φ_0 – rovnovážná hodnota veličiny (bez zvuku),

φ_a – akustická složka (harmonická v čase),

φ_n – produkty nelineárních interakcí.

Průměrování přes jednu časovou periodu

$$\langle \varphi \rangle = \varphi_m(\mathbf{r}, t_s) = \frac{1}{T_a} \int_{t_s}^{t_s+T_a} \varphi(\mathbf{r}, t) dt = \varphi_0 + \langle \varphi_n \rangle,$$

$T_a = 2\pi/\omega$ – akustická perioda,

t_s – „pomalý“ čas, popisující pomalé děje.

Na Navierovy-Stokesovy rovnice je aplikována metoda postupných aproximací, spolu s průměrováním přes jednu periodu pro výpočet sekundárního pole.

Rovnice pro zvukové pole jsou reprezentovány linearizovanými Navierovými-Stokesovými rovnicemi

$$\frac{\partial \rho_a}{\partial t} + \nabla \cdot (\rho_m \mathbf{u}_a) = 0,$$

$$\rho_m \frac{\partial \mathbf{u}_a}{\partial t} - \nabla \cdot \left\{ -p_a \mathbf{I} + \mu_m \left[\nabla \mathbf{u}_a + (\nabla \mathbf{u}_a)^T \right] - \frac{2\mu_m}{3} (\nabla \cdot \mathbf{u}_a) \mathbf{I} \right\} = -\rho_m \mathbf{a},$$

$$\rho_m c_{pm} \left(\frac{\partial T_a}{\partial t} + \mathbf{u}_a \cdot \nabla T_m \right) - \frac{\partial p_a}{\partial t} - \nabla \cdot (\kappa_m \nabla T_a) = 0,$$

Linearizovaná stavová rovnice: $p_a / p_m = T_a / T_m + \rho_a / \rho_m$

$\mathbf{u}_a, p_a, T_a, \rho_a$ – veličiny zvukového pole,

ρ_m, T_m – průměrované veličiny,

$\mu_m = \mu(T_m), \quad \kappa_m = \kappa(T_m), \quad c_{pm} = c_p(T_m).$

Rovnice pro zvukové pole závisí na průměrovaných veličinách!

Modelové rovnice – průměrované sekundární pole

Rovnice pro průměrované veličiny jsou reprezentovány Navierovými-Stokesovými rovnicemi **se zdrojovými členy**

$$\frac{\partial \rho_m}{\partial t_s} + \nabla \cdot (\rho_m \mathbf{u}_m) = M,$$

$$\rho_m \frac{d\mathbf{u}_m}{dt_s} - \nabla \cdot \left\{ -\rho_m \mathbf{I} + \mu_m \left[\nabla \mathbf{u}_m + (\nabla \mathbf{u}_m)^T \right] - \frac{2\mu_m}{3} (\nabla \cdot \mathbf{u}_m) \mathbf{I} \right\} = \mathbf{F},$$

$$\rho_m c_{pm} \frac{dT_m}{dt_s} - \frac{d\rho_m}{dt_s} - \nabla \cdot (\kappa_m \nabla T_m) = Q,$$

\mathbf{u}_m , ρ_m , T_m , ρ_m – průměrované veličiny.

Zdrojové členy M , \mathbf{F} , Q závisí na veličinách zvukového pole!

Průměrovaná rychlost transportu hmoty

$$\mathbf{U}_m = \mathbf{u}_m + \frac{\langle \rho_a \mathbf{u}_a \rangle}{\rho_m}.$$

Zdrojové členy pro průměrované sekundární pole

$$M = -\nabla \cdot \langle \rho_a \mathbf{u}_a \rangle,$$

$$\mathbf{F} = -\left\langle \rho_a \left(\mathbf{a} + \frac{\partial \mathbf{u}_a}{\partial t} \right) \right\rangle - \rho_m \langle (\mathbf{u}_a \cdot \nabla) \mathbf{u}_a \rangle \\ + \nabla \cdot \left\langle \frac{\mu_m b_\mu}{T_m} T_a \left[\nabla \mathbf{u}_a + (\nabla \mathbf{u}_a)^T - \frac{2}{3} (\nabla \cdot \mathbf{u}_a) \mathbf{I} \right] \right\rangle,$$

$$Q = -c_{pm} \left\langle \rho_a \frac{\partial T_a}{\partial t} \right\rangle - \rho_m c_{pm} \langle \mathbf{u}_a \cdot \nabla T_a \rangle \\ - c_{pm} \langle \rho_a \mathbf{u}_a \rangle \cdot \nabla T_m + \langle \mathbf{u}_a \cdot \nabla p_a \rangle + \nabla \cdot \left\langle \frac{\kappa_m b_\kappa}{T_m} T_a \nabla T_a \right\rangle \\ + \mu_m \left\langle \left[\nabla \mathbf{u}_a + (\nabla \mathbf{u}_a)^T - \frac{2}{3} (\nabla \cdot \mathbf{u}_a) \mathbf{I} \right] : \nabla \mathbf{u}_a \right\rangle,$$

kde

$$\langle fg \rangle = \frac{1}{2} \Re \left[\tilde{f} \tilde{g}^* \right].$$

Všechny numerické výpočty byly provedeny v programu COMSOL Multiphysics.

- **Zvukové pole:** Acoustics Module – Linearised Navier-Stokes, Frequency domain ($\rho_a, \mathbf{u}_a, T_a, \rho_a$).
- **Průměrované sekundární pole:** CFD Module – Laminar Flow with Heat Transport ($\rho_m, \mathbf{u}_m, T_m, \rho_m$).
- **Obě soustavy rovnic tvoří dohromady jednu soustavu rovnic – musí být integrovány současně! (jinak by nebyl zachycen vliv přenosu tepla akustickým prouděním)**

Parametry pro numerické výpočty

- Válcový rezonátor; délka $L = 30$ cm, poloměr $R = 1,5$ cm, vyplněný vzduchem za atmosférického tlaku.
- Zvukové pole buzeno setrvačnou silou na rezonančním kmitočtu.
- 2D osově symetrická geometrie; izotermální & “no-slip” okrajové podmínky na stěnách. **Teplota stěn rezonátoru je explicitně předepsána.**

Všechny numerické výpočty byly provedeny v programu COMSOL Multiphysics.

- **Zvukové pole:** Acoustics Module – Linearised Navier-Stokes, Frequency domain ($p_a, \mathbf{u}_a, T_a, \rho_a$).
- **Průměrované sekundární pole:** CFD Module – Laminar Flow with Heat Transport ($p_m, \mathbf{u}_m, T_m, \rho_m$).
- **Obě soustavy rovnic tvoří dohromady jednu soustavu rovnic – musí být integrovány současně! (jinak by nebyl zachycen vliv přenosu tepla akustickým prouděním)**

Parametry pro numerické výpočty

- Válcový rezonátor; délka $L = 30$ cm, poloměr $R = 1,5$ cm, vyplněný vzduchem za atmosférického tlaku.
- Zvukové pole buzeno setrvačnou silou na rezonančním kmitočtu.
- 2D osově symetrická geometrie; izotermální & “no-slip” okrajové podmínky na stěnách. **Teplota stěn rezonátoru je explicitně předepsána.**

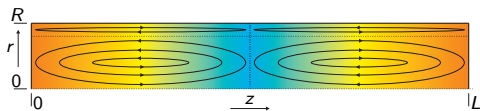
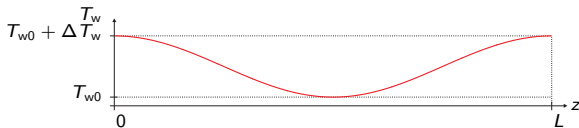
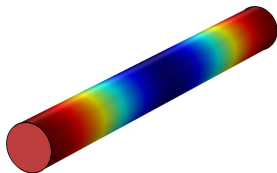
Numerické výsledky (bez konvektivního přenosu tepla)

Kosinová distribuce teploty podél stěny, zanedbatelný přenos tepla prouděním

Teplota stěny rezonátoru (okrajová podmínka)

$$T_w = \frac{\Delta T_w}{2} \left[1 + \cos \left(\frac{2\pi z}{L} \right) \right] + T_{w0},$$

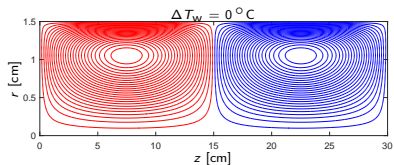
$T_{w0} = 20^\circ\text{C}$, ΔT_w různé.



$Re_{nl} \ll 1 \Rightarrow$ teplota tekutiny se řídí rovnicí: $\nabla \cdot (\kappa_m \nabla T_m) = 0$.

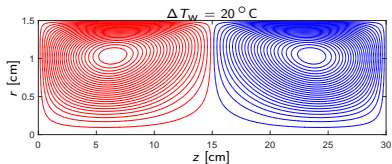
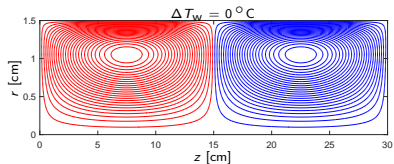
Numerické výsledky (bez konvektivního přenosu tepla)

Akustické proudění pro různé hodnoty rozdílu teplot podél stěny
 $\Delta T_w = 0, 20, 40, 60, 80, 100$ °C; buzení v $\lambda/2$ rezonanci.



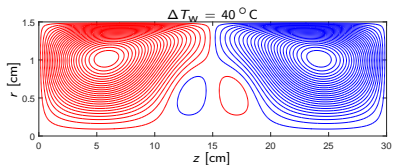
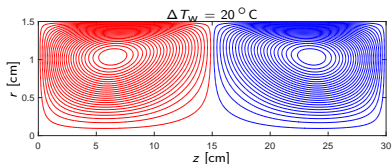
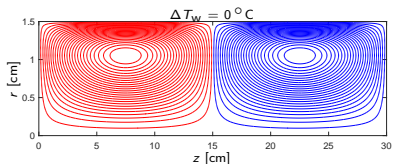
Numerické výsledky (bez konvektivního přenosu tepla)

Akustické proudění pro různé hodnoty rozdílu teplot podél stěny
 $\Delta T_w = 0, 20, 40, 60, 80, 100$ °C; buzení v $\lambda/2$ rezonanci.



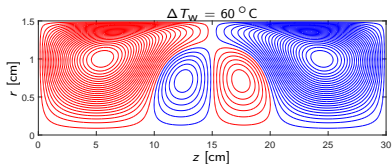
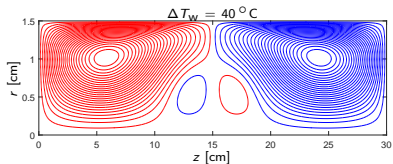
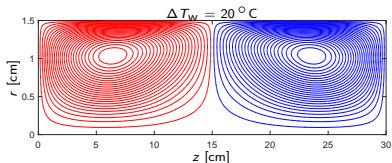
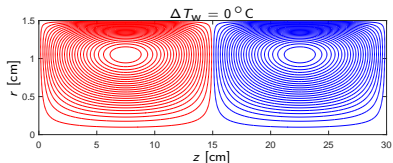
Numerické výsledky (bez konvektivního přenosu tepla)

Akustické proudění pro různé hodnoty rozdílu teplot podél stěny
 $\Delta T_w = 0, 20, 40, 60, 80, 100$ °C; buzení v $\lambda/2$ rezonanci.



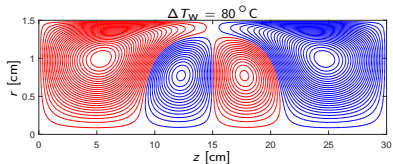
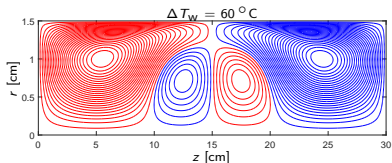
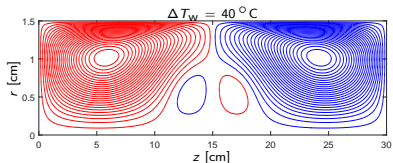
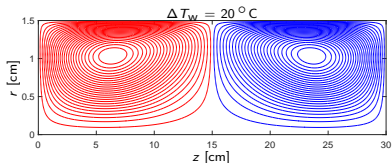
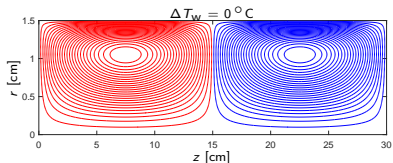
Numerické výsledky (bez konvektivního přenosu tepla)

Akustické proudění pro různé hodnoty rozdílu teplot podél stěny
 $\Delta T_w = 0, 20, 40, 60, 80, 100$ °C; buzení v $\lambda/2$ rezonanci.



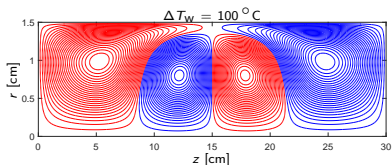
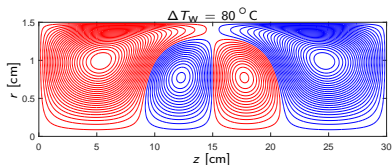
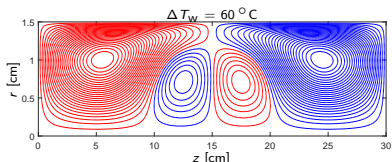
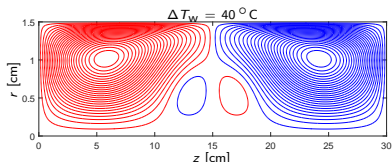
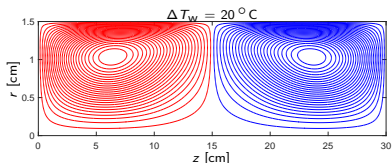
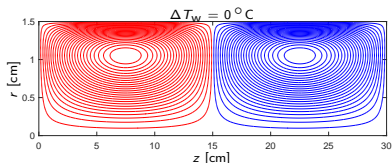
Numerické výsledky (bez konvektivního přenosu tepla)

Akustické proudění pro různé hodnoty rozdílu teplot podél stěny
 $\Delta T_w = 0, 20, 40, 60, 80, 100$ °C; buzení v $\lambda/2$ rezonanci.



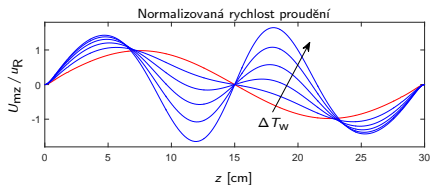
Numerické výsledky (bez konvektivního přenosu tepla)

Akustické proudění pro různé hodnoty rozdílu teplot podél stěny
 $\Delta T_w = 0, 20, 40, 60, 80, 100$ °C; buzení v $\lambda/2$ rezonanci.



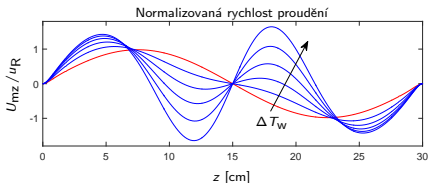
Numerické výsledky (bez konvektivního přenosu tepla)

Normalizovaná rychlost proudění podél osy rezonátoru pro jednotlivé velikosti teplotního rozdílu podél stěny $\Delta T_w = 0, 20, 40, 60, 80, 100$ °C.



Numerické výsledky (bez konvektivního přenosu tepla)

Normalizovaná rychlost proudění podél osy rezonátoru pro jednotlivé velikosti teplotního rozdílu podél stěny $\Delta T_w = 0, 20, 40, 60, 80, 100$ °C.



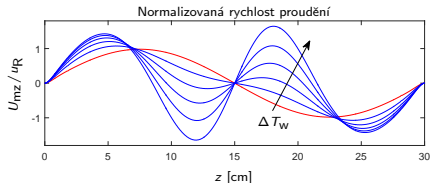
Důvod změny charakteru proudění: **teplotní gradient napříč rezonátorem.**

- Jestliže $\Delta_r T_m(z) = T_m(0, z) - T_m(R, z) < 0$, akustické proudění poblíž osy rezonátoru je lokálně podporováno (zesilováno).
- Jestliže $\Delta_r T_m(z) > 0$, proudění je zeslabováno, s možností reverzace směru.

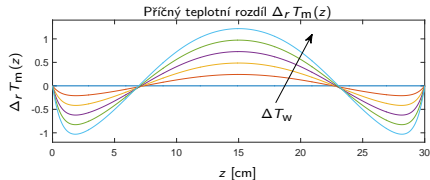
V tomto případě: $\Delta_r T_m(z) \approx -\frac{\pi^2 R^2 \Delta T_w}{2L^2} \cos\left(\frac{2\pi z}{L}\right)$.

Numerické výsledky (bez konvektivního přenosu tepla)

Normalizovaná rychlost proudění podél osy rezonátoru pro jednotlivé velikosti teplotního rozdílu podél stěny $\Delta T_w = 0, 20, 40, 60, 80, 100$ °C.



Příčný teplotní rozdíl $\Delta_r T_m(z)$ pro jednotlivé hodnoty $\Delta T_w = 0, 20, 40, 60, 80, 100$ °C.

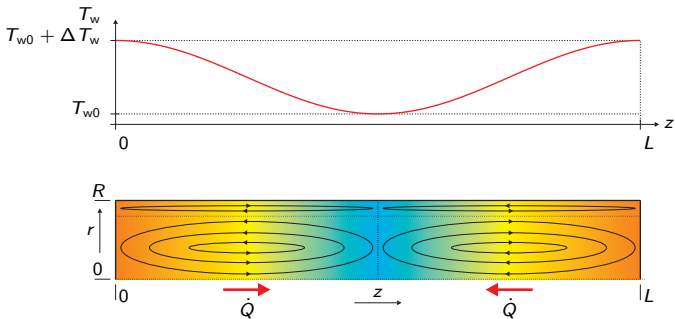


Numerické výsledky (s konvektivním přenosem tepla)

Kosinová distribuce teploty podél stěn rezonátoru, konvektivní přenos tepla ak. prouděním

Teplota stěny rezonátoru (okrajová podmínka)

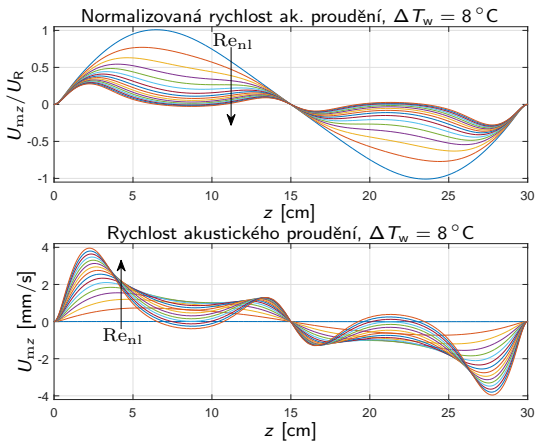
$$T_w = \frac{\Delta T_w}{2} \left[1 + \cos \left(\frac{2\pi z}{L} \right) \right] + T_{w0},$$



Teplotu tekutiny v rezonátoru je třeba počítat pomocí rovnice toku tepla.

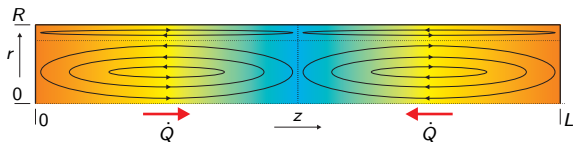
Numerické výsledky (s konvektivním přenosem tepla)

Normalizovaná (nahore) a fyzikální (dole) rychlost akustického proudění podél osy rezonátoru, $\Delta T_w = 8^\circ\text{C}$, $Re_{nl} = 0.001, 0.2, 0.4, \dots, 2.8, 3.0$.

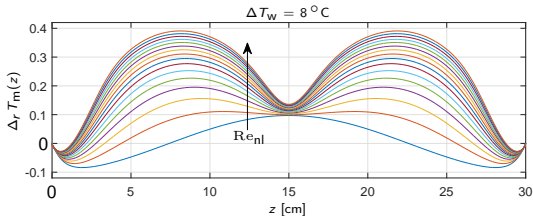


Numerické výsledky (s konvektivním přenosem tepla)

Přenos tepla podél osy rezonátoru

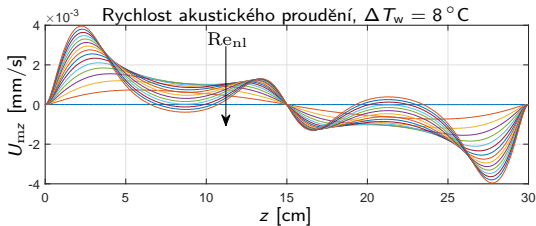


Distribuce rozdílu teplot napříč rezonátorem $\Delta_r T_m(z)$ podél rezonátoru, pro $\Delta T_w = 8^\circ\text{C}$, a $\text{Re}_{nl} = 0.001, 0.2, 0.4, \dots, 2.9, 3.0$

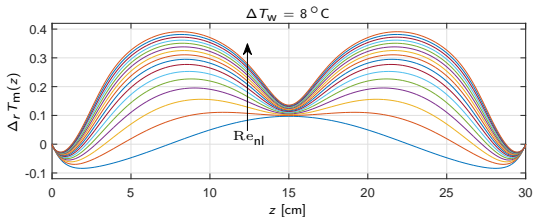


Numerické výsledky (s konvektivním přenosem tepla)

Rychlost proudění podíl osy rezonátoru, $\Delta T_w = 8^\circ\text{C}$,
 $Re_{nl} = 0.001, 0.2, 0.4, \dots, 2.8, 3.0$.

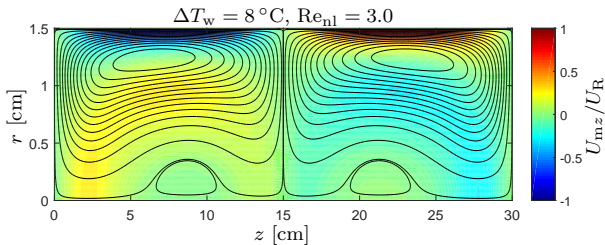
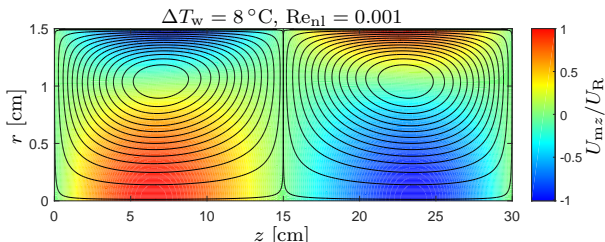


Distribuce rozdílu teplot napříč rezonátorem $\Delta_r T_m(z)$



Numerické výsledky (s konvektivním přenosem tepla)

Akustické proudění v rezonátoru pro $\Delta T_w = 8^\circ\text{C}$, a dvě hodnoty Re_{nl}



- Neumím si představit, že bych tohle mohl dělat bez COMSOLu (zejména možnosti multifyzikálního modelování přímo pomocí diferenciálních rovnic).
- Ještě není konec, zbývá (minimálně):
 - Objasnit důvod citlivosti akustického proudění na příčný gradient teploty.
 - Donutit rovnice, aby konvergovaly i pro $Re_{nl} \sim 40 \rightarrow$ porovnat numerické výsledky s experimenty.
 - Donutit rovnice, aby konvergovaly i v případě malinkých rezonátorů $L \sim 1$ cm a vysokých hodnot $Re_{nl} \sim 40 \rightarrow$ ukázat, že teplota tekutiny deformuje proudové pole i v CFD simulacích, kde se uvažují stěny s konstantní teplotou.

Děkuji za pozornost!

- Neumím si představit, že bych tohle mohl dělat bez COMSOLu (zejména možnosti multifyzikálního modelování přímo pomocí diferenciálních rovnic).
- Ještě není konec, zbývá (minimálně):
 - Objasnit důvod citlivosti akustického proudění na příčný gradient teploty.
 - Donutit rovnice, aby konvergovaly i pro $Re_{nl} \sim 40 \rightarrow$ porovnat numerické výsledky s experimenty.
 - Donutit rovnice, aby konvergovaly i v případě malinkých rezonátorů $L \sim 1$ cm a vysokých hodnot $Re_{nl} \sim 40 \rightarrow$ ukázat, že teplota tekutiny deformuje proudové pole i v CFD simulacích, kde se uvažují stěny s konstantní teplotou.

Děkuji za pozornost!

- Neumím si představit, že bych tohle mohl dělat bez COMSOLu (zejména možnosti multifyzikálního modelování přímo pomocí diferenciálních rovnic).
- Ještě není konec, zbývá (minimálně):
 - Objasnit důvod citlivosti akustického proudění na příčný gradient teploty.
 - Donutit rovnice, aby konvergovaly i pro $Re_{nl} \sim 40 \rightarrow$ porovnat numerické výsledky s experimenty.
 - Donutit rovnice, aby konvergovaly i v případě malinkých rezonátorů $L \sim 1$ cm a vysokých hodnot $Re_{nl} \sim 40 \rightarrow$ ukázat, že teplota tekutiny deformuje proudové pole i v CFD simulacích, kde se uvažují stěny s konstantní teplotou.

Děkuji za pozornost!

- Neumím si představit, že bych tohle mohl dělat bez COMSOLu (zejména možnosti multifyzikálního modelování přímo pomocí diferenciálních rovnic).
- Ještě není konec, zbývá (minimálně):
 - Objasnit důvod citlivosti akustického proudění na příčný gradient teploty.
 - Donutit rovnice, aby konvergovaly i pro $Re_{nl} \sim 40 \rightarrow$ porovnat numerické výsledky s experimenty.
 - Donutit rovnice, aby konvergovaly i v případě malinkých rezonátorů $L \sim 1$ cm a vysokých hodnot $Re_{nl} \sim 40 \rightarrow$ ukázat, že teplota tekutiny deformuje proudové pole i v CFD simulacích, kde se uvažují stěny s konstantní teplotou.

Děkuji za pozornost!

- Neumím si představit, že bych tohle mohl dělat bez COMSOLu (zejména možnosti multifyzikálního modelování přímo pomocí diferenciálních rovnic).
- Ještě není konec, zbývá (minimálně):
 - Objasnit důvod citlivosti akustického proudění na příčný gradient teploty.
 - Donutit rovnice, aby konvergovaly i pro $Re_{nl} \sim 40 \rightarrow$ porovnat numerické výsledky s experimenty.
 - Donutit rovnice, aby konvergovaly i v případě malinkých rezonátorů $L \sim 1$ cm a vysokých hodnot $Re_{nl} \sim 40 \rightarrow$ ukázat, že teplota tekutiny deformuje proudové pole i v CFD simulacích, kde se uvažují stěny s konstantní teplotou.

Děkuji za pozornost!

- Neumím si představit, že bych tohle mohl dělat bez COMSOLu (zejména možnosti multifyzikálního modelování přímo pomocí diferenciálních rovnic).
- Ještě není konec, zbývá (minimálně):
 - Objasnit důvod citlivosti akustického proudění na příčný gradient teploty.
 - Donutit rovnice, aby konvergovaly i pro $Re_{nl} \sim 40 \rightarrow$ porovnat numerické výsledky s experimenty.
 - Donutit rovnice, aby konvergovaly i v případě malinkých rezonátorů $L \sim 1$ cm a vysokých hodnot $Re_{nl} \sim 40 \rightarrow$ ukázat, že teplota tekutiny deformuje proudové pole i v CFD simulacích, kde se uvažují stěny s konstantní teplotou.

Děkuji za pozornost!

- Neumím si představit, že bych tohle mohl dělat bez COMSOLu (zejména možnosti multifyzikálního modelování přímo pomocí diferenciálních rovnic).
- Ještě není konec, zbývá (minimálně):
 - Objasnit důvod citlivosti akustického proudění na příčný gradient teploty.
 - Donutit rovnice, aby konvergovaly i pro $Re_{nl} \sim 40 \rightarrow$ porovnat numerické výsledky s experimenty.
 - Donutit rovnice, aby konvergovaly i v případě malinkých rezonátorů $L \sim 1$ cm a vysokých hodnot $Re_{nl} \sim 40 \rightarrow$ ukázat, že teplota tekutiny deformuje proudové pole i v CFD simulacích, kde se uvažují stěny s konstantní teplotou.

Děkuji za pozornost!